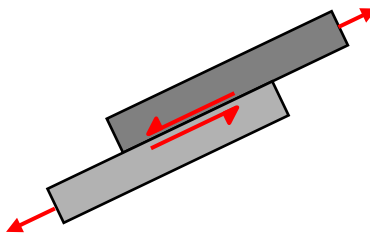


# Résistance des matériaux



## Cisaillement.

Etat de contraintes, énergie de déformation

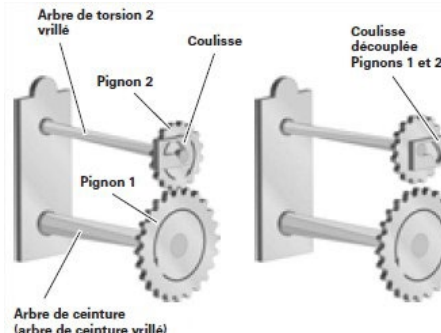
## Torsion circulaire.

Etat de contraintes, isostatiques, énergie de déformation

[http://www.ciffreobona.fr/catalogue/details-outillage-cisailles\\_a\\_tole\\_articulee\\_upper-cut-627.html](http://www.ciffreobona.fr/catalogue/details-outillage-cisailles_a_tole_articulee_upper-cut-627.html)



<http://www.yoga-amrita.com/paryritta-pawanmuktasana/>

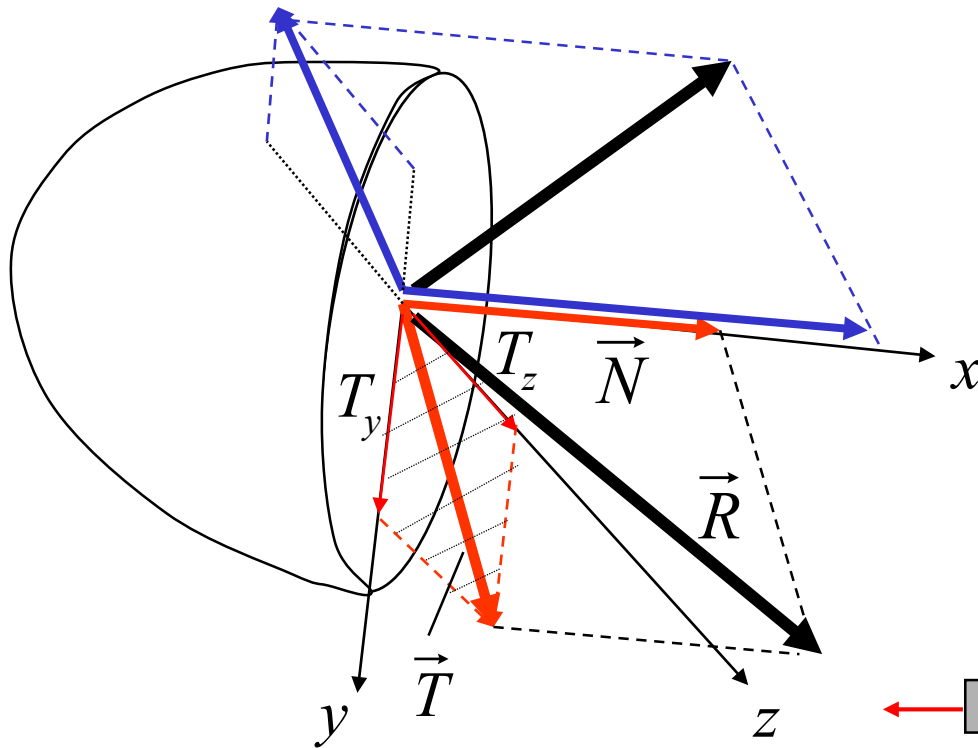


<http://www.forum-audi.com/topic-125-audi-a5-protection-des-occupants-systemes-de-securite.html>

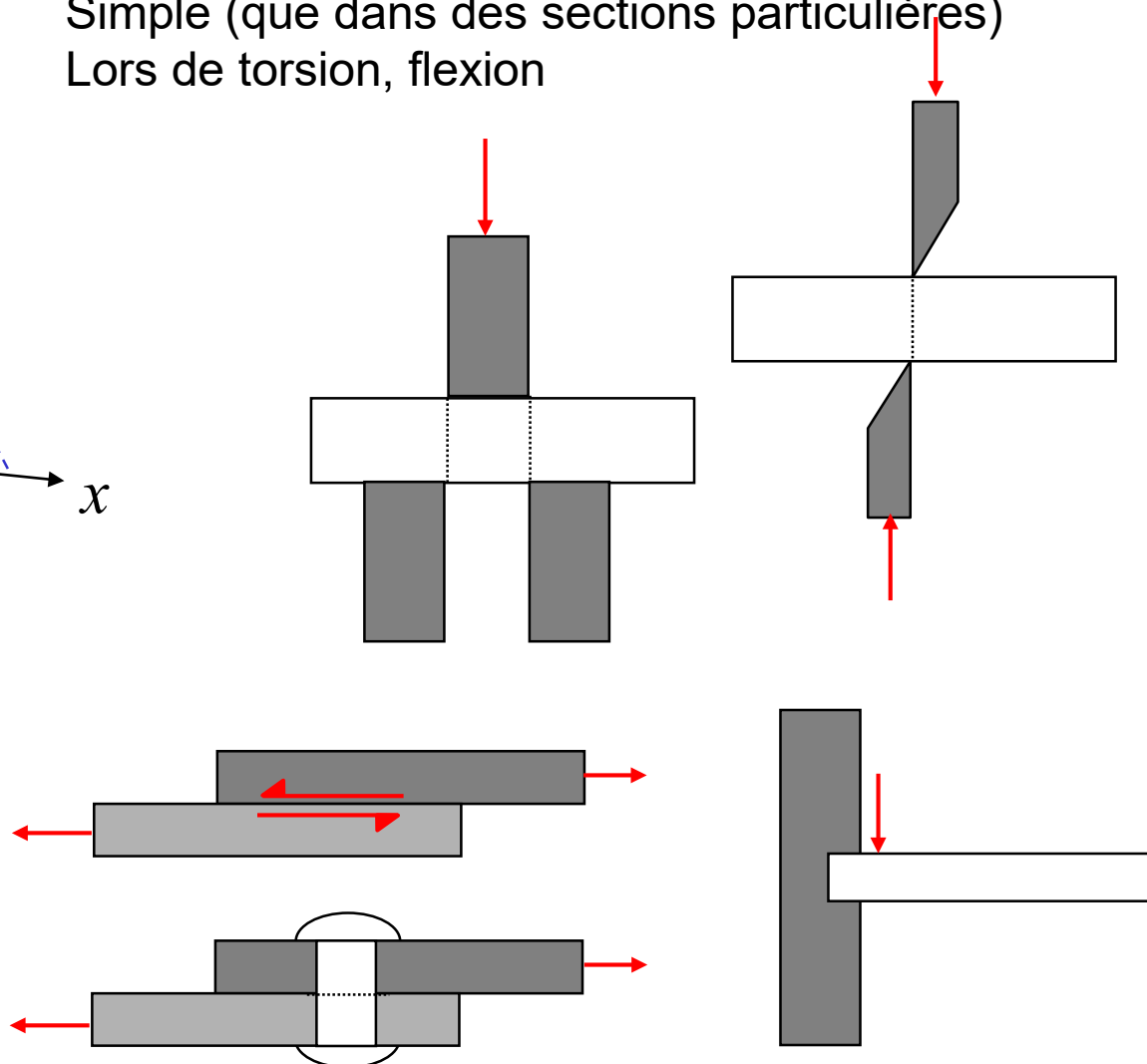
# Cisaillement simple

2

Torseur se réduit à  $\vec{T}$

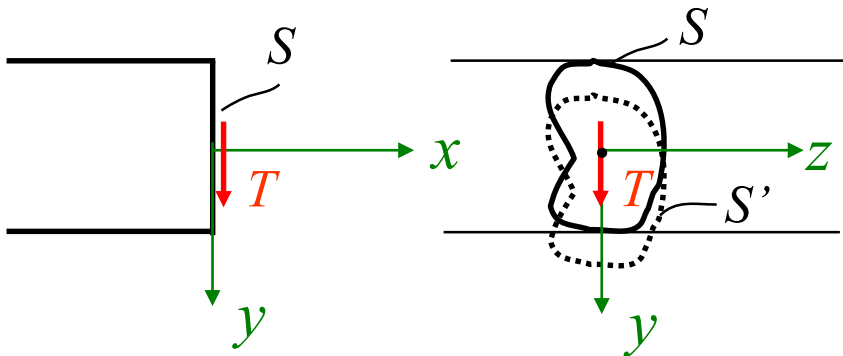


- Simple (que dans des sections particulières)
- Lors de torsion, flexion



# Déformation

3

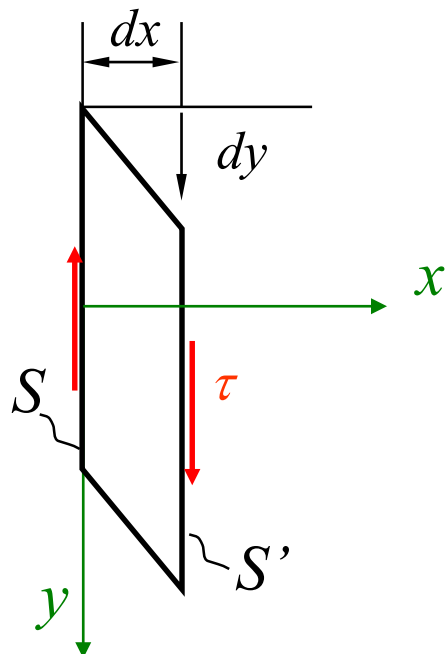


(H)

$S'$  se déduit de  $S$  par translation dans la direction de  $\vec{T}$

$\Rightarrow$  pas de rôle des axes principaux

$\Rightarrow$  choisir  $G_y$  tel que  $\vec{T} = T_y = T$  ,  $T_z = 0$



$$T_y = \int \tau_y dS \quad \text{autres} = 0$$

$$\tau_y = \frac{T}{S}$$

$$\frac{dy}{dx} = \gamma \text{ angle de glissement}$$

$$dy = \frac{1}{G} dx \cdot \tau$$

$G$  = module de glissement, de cisaillement

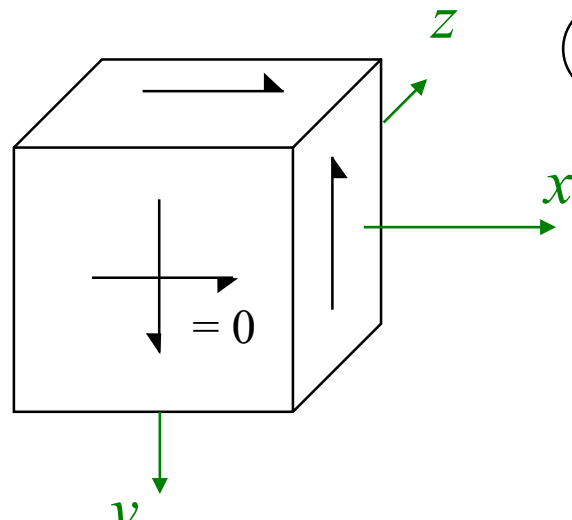
# Energie de déformation en cisaillement

$$dU = \frac{1}{2} \text{ force} \times \text{déplacement}$$

$$\frac{dU}{dV} = u$$

$$u = \frac{1}{2} G \gamma^2 = \frac{\tau \cdot \gamma}{2} = \frac{\tau^2}{2G}$$

# Etat de contraintes



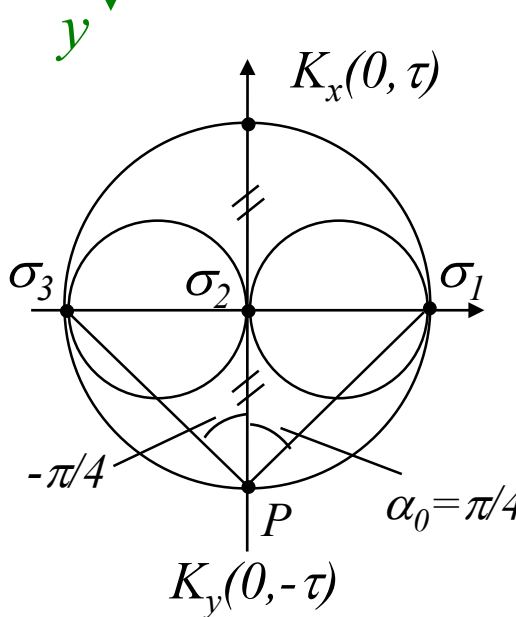
H  $\sigma_x = \sigma_y = \sigma_z = 0$  et  $\tau = 0$  sur les faces  $\perp$  à  $z$

$\Rightarrow M_{o_z}$  est un axe principal

$\Rightarrow$  état bidimensionnel = une contrainte principale est nulle

$\Rightarrow \tau_x = \tau$

$\Rightarrow \tau_y = -\tau$



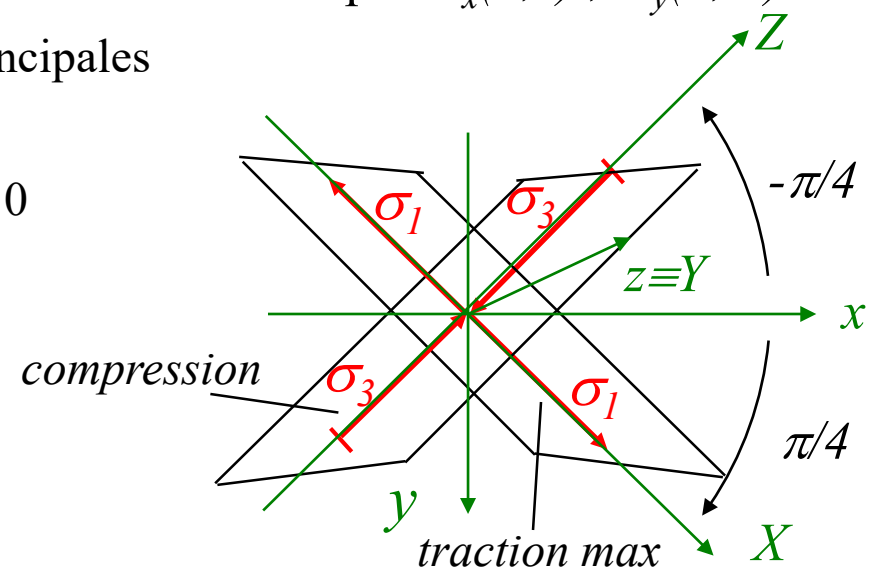
Cercle de Mohr fondamental donné par  $K_x(0, \tau)$ ,  $K_y(0, -\tau)$

$\Rightarrow$  Contraintes principales

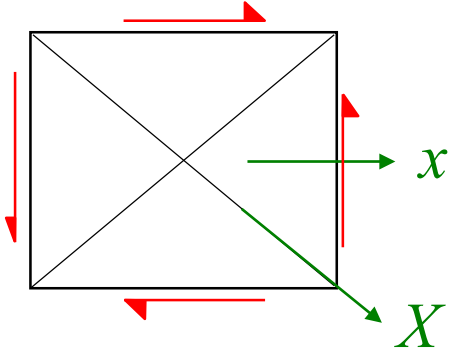
$$\sigma_1 = +\tau$$

$$\sigma_2 = \sigma_z = 0$$

$$\sigma_3 = -\tau$$



# $G = E/2(1+\nu)$

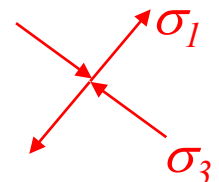


- $u = \frac{\tau^2}{2G}$  ①
- Axes principaux  $X, Y$

$$u = \frac{1}{2}(\varepsilon_1 \sigma_1 + \varepsilon_3 \sigma_3) \quad \sigma_1 = \tau, \quad \sigma_3 = -\tau$$

$$\varepsilon_1 = \frac{1}{E}(\sigma_1 - \nu \sigma_3) = \frac{\tau}{E}(1 + \nu)$$

$$\varepsilon_3 = \frac{1}{E}(\sigma_3 - \nu \sigma_1) = -\frac{\tau}{E}(1 + \nu)$$

$$u = \frac{1}{2} \left( \frac{\tau^2}{E}(1 + \nu) + \frac{\tau^2}{E}(1 + \nu) \right) \quad ②$$


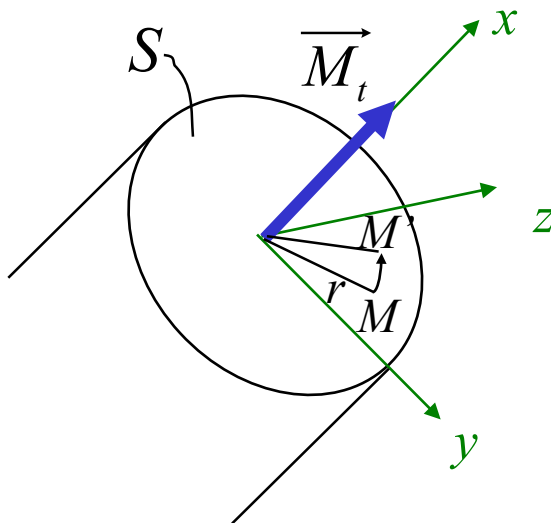
- ① et ②

$$\frac{\tau^2}{2G} = \frac{\tau^2}{E}(1 + \nu)$$

$$G = \frac{E}{2(1 + \nu)}$$

# Torsion circulaire

Le torseur se réduit à  $M_t \perp à S$

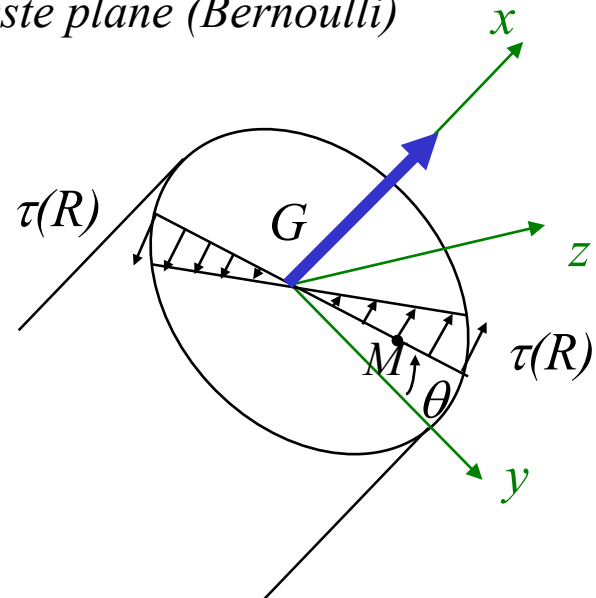


- $S'$  reste dans le plan de  $S \Rightarrow \sigma = 0$
- $M$  se déplace en  $M'$  cercle  $r$  :  
 $\rightarrow \tau \propto r$  et  $\perp GM$   
 $\rightarrow \tau = K r$

(H)

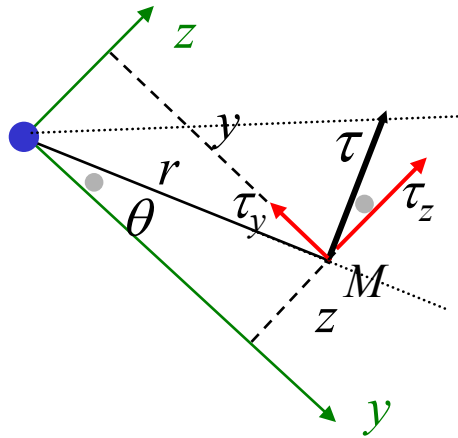
Calcul facile que si  $S$  est circulaire

- $S'$  de  $S$  par rotation ( $\neq$  section rectangulaire)
- $S'$  reste plane (Bernoulli)



$$M_t = \int_S (\tau_z y - \tau_y z) dS$$

# Torsion circulaire



$$M_t = \int_S (\tau_z y - \tau_y z) dS$$

$$\tau_y = -\tau \sin \theta = -K r \sin \theta$$

$$\tau_z = \tau \cos \theta = K r \cos \theta$$

$$dS = r d\theta dr$$

Coordonées polaires  $y = r \cos \theta$

$$z = r \sin \theta$$

$$M_t = K \int_S (r \cos \theta \cdot r \cos \theta + r \sin \theta \cdot r \sin \theta) dS$$

$$= K \int_S r^2 (\cos^2 \theta + \sin^2 \theta) dS = K \int_S r^2 dS = K \cdot I_P \Rightarrow K = \frac{M_t}{I_P}$$

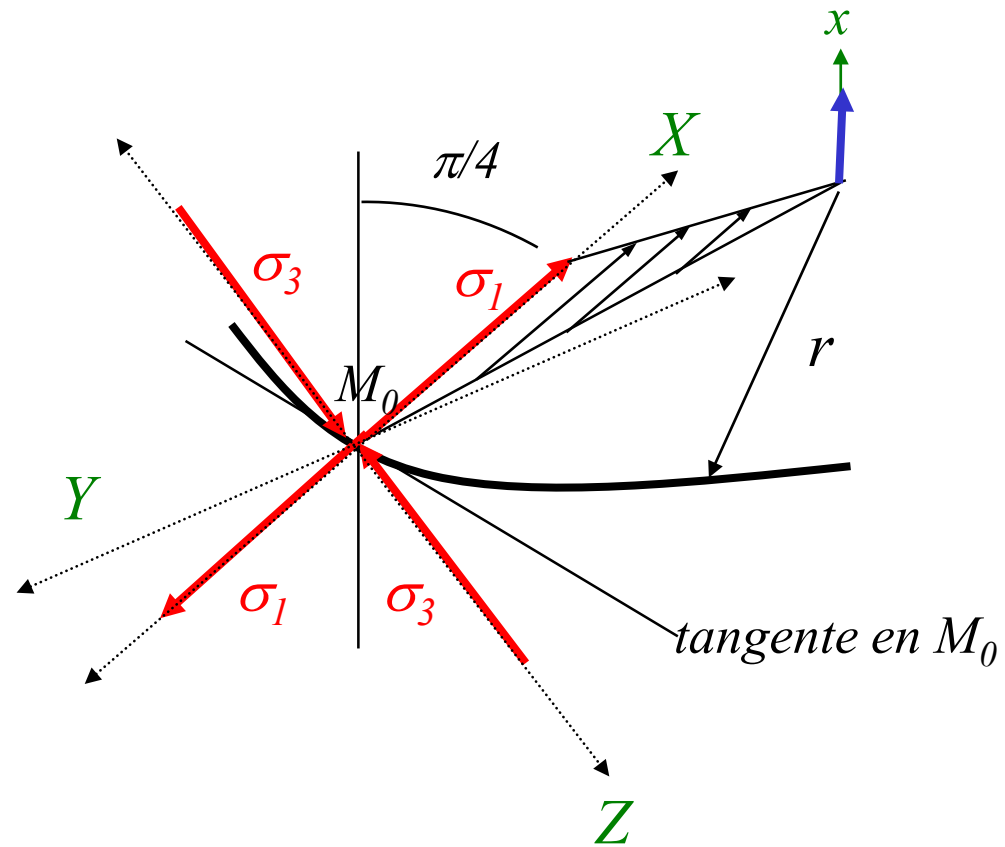
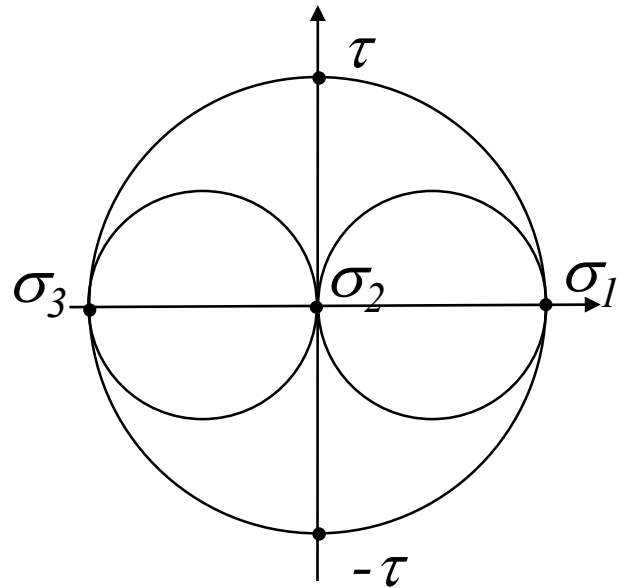
$$\tau = \frac{M_t}{I_P} \cdot r$$

*L'état de contrainte de la torsion est le cisaillement,  $\tau = f(r)$*

$$\tau_{\max} = \frac{M_t}{I_P} \cdot R_{\max}$$

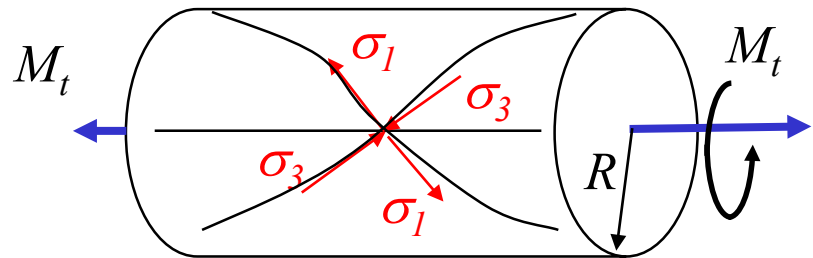
$$S \text{ circulaire} \Rightarrow I_P = I_x + I_y = \frac{\pi D^4}{64} + \frac{\pi D^4}{64} = \frac{\pi D^4}{32} = \frac{\pi R^4}{2}$$

# Etat de contraintes



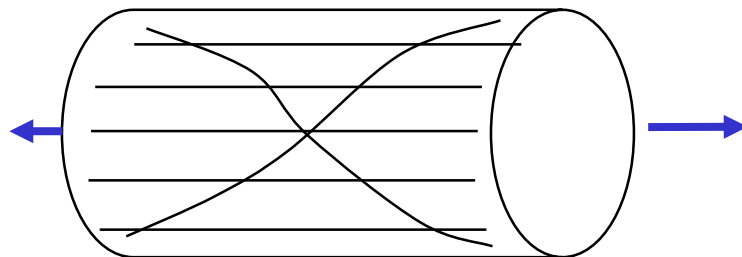
# Les isostatiques

les trajectoires des contraintes principales,  
les lignes tangentes aux contraintes principales



*En torsion  $\equiv$  hélices à 45°*

*La déformation allonge les hélices selon  $\sigma_1$  (traction) et les raccourcit selon  $\sigma_3$  (compression)*



*En traction*

*Isostatiques  $\equiv$  génératrices du cylindre et les trajectoires des  $\tau$  sont les lignes de Lueder à 45°*

# Déformation

12

$$BB' = rd\theta \quad \text{et} \quad BB' = \gamma dx$$

$$\frac{d\theta}{dx} = \frac{\gamma}{r}$$

comme  $\gamma = \frac{\tau}{G}$

et  $\tau = \frac{M_t}{I_p} r$

$$\Rightarrow \frac{d\theta}{dx} = \frac{M_t}{G \cdot I_p}$$

si  $M_t$  est constant sur  $L$

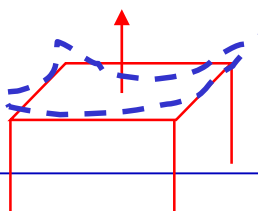
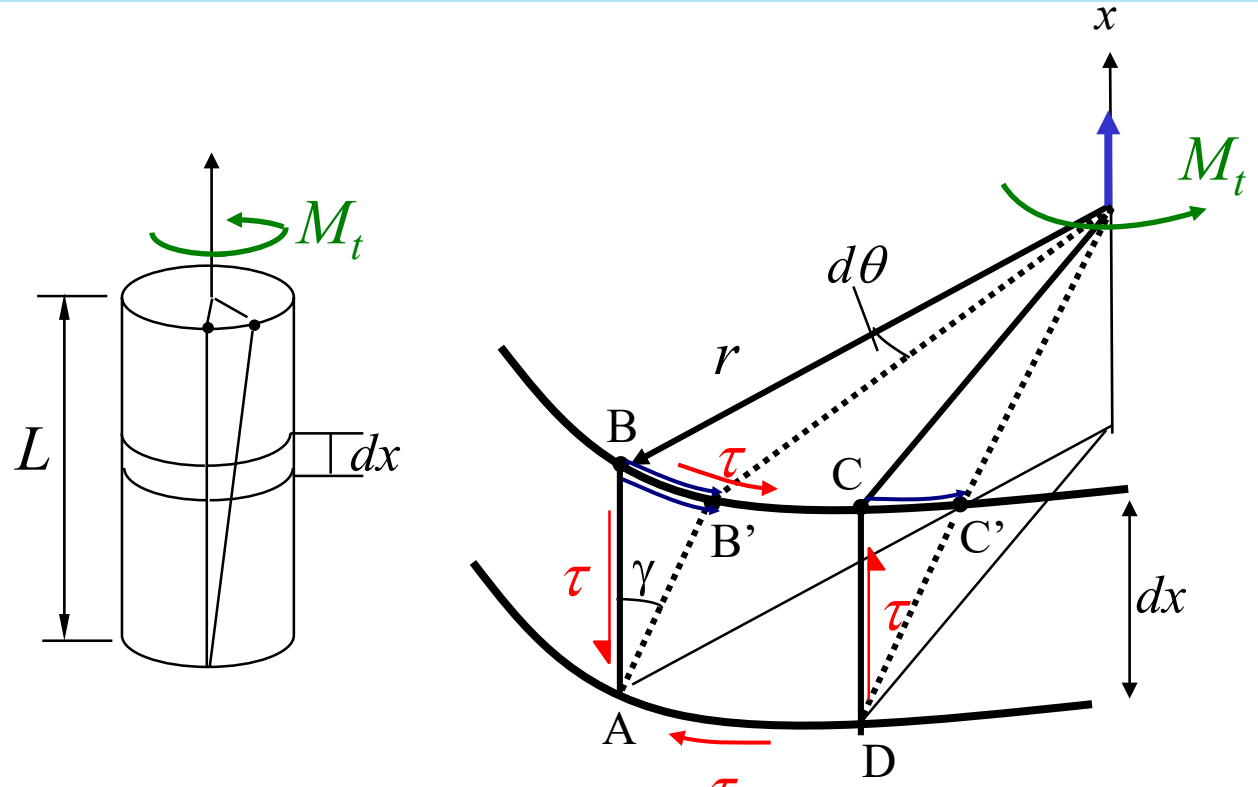
si la section est constante sur  $L$

$$\theta = \int_0^L \frac{M_t}{G \cdot I_p} dx = \frac{M_t \cdot L}{G \cdot I_p}$$

pour calculer  $\theta$  mais aussi pour déterminer le module  $G$



ssi torsion circulaire, sinon



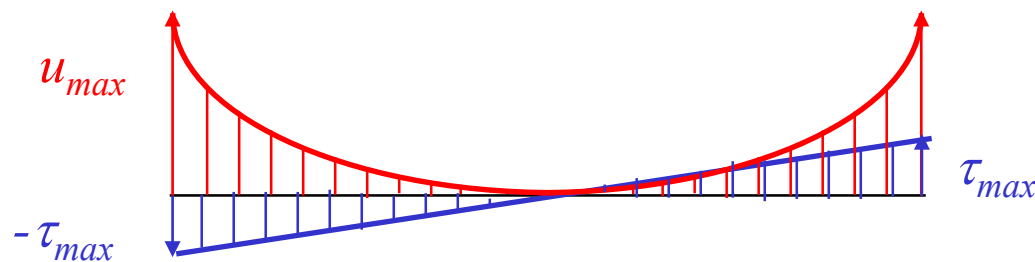
# Energie de déformation

- $dU = \frac{1}{2} M_t \cdot \theta$

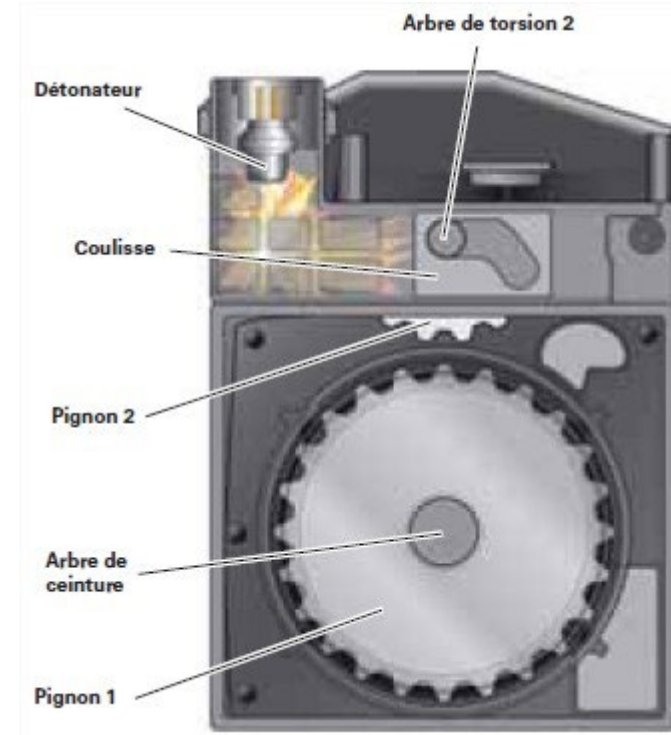
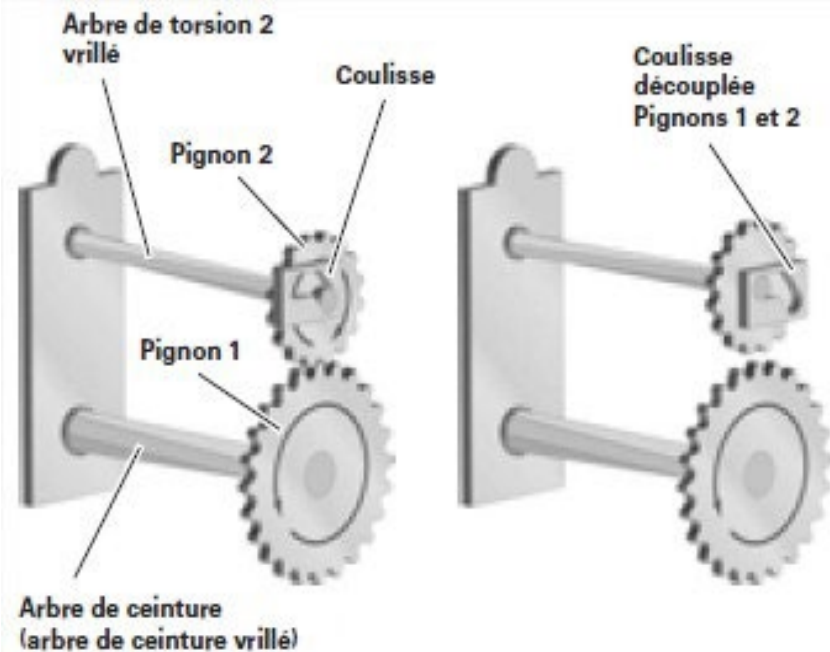
$$dU = \frac{M_t^2}{2 \cdot G \cdot I_p} dx$$

intégrer sur  $L \rightarrow U = \frac{M_t^2 L}{2 \cdot G \cdot I_p}$

- $u = \frac{1}{2} \tau \gamma = \frac{\tau^2}{2G} = \left( \frac{\tau}{\tau_{\max}} \right)^2 \cdot \frac{\tau_{\max}^2}{2G} = \left( \frac{r}{R} \right)^2 \cdot u_{\max}$



# Energie de déformation



# Exo: Ressorts hélicoïdaux à fil rond

L'exemple d'un ressort de compression est traité ici. Le même raisonnement peut être fait pour un ressort d'extension.

- $D$ : diamètre d'enroulement de l'hélice moyenne
- $d$ : diamètre du fil
- $n$ : nombre de spires utiles capables de se déformer
- $h_0$ : hauteur utile à vide

*Habituellement  $D \approx 6d$*

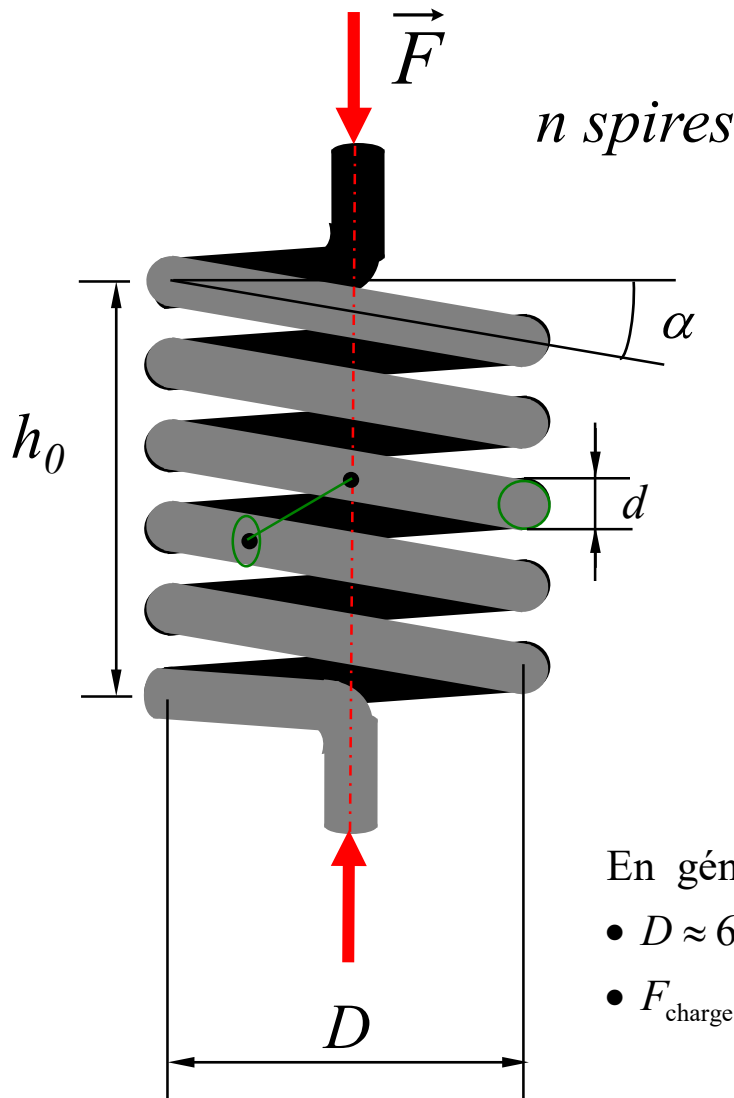


$$F_{charge\ axiale} = k \cdot f$$

$k$ : rigidité du ressort en  $[N/mm]$

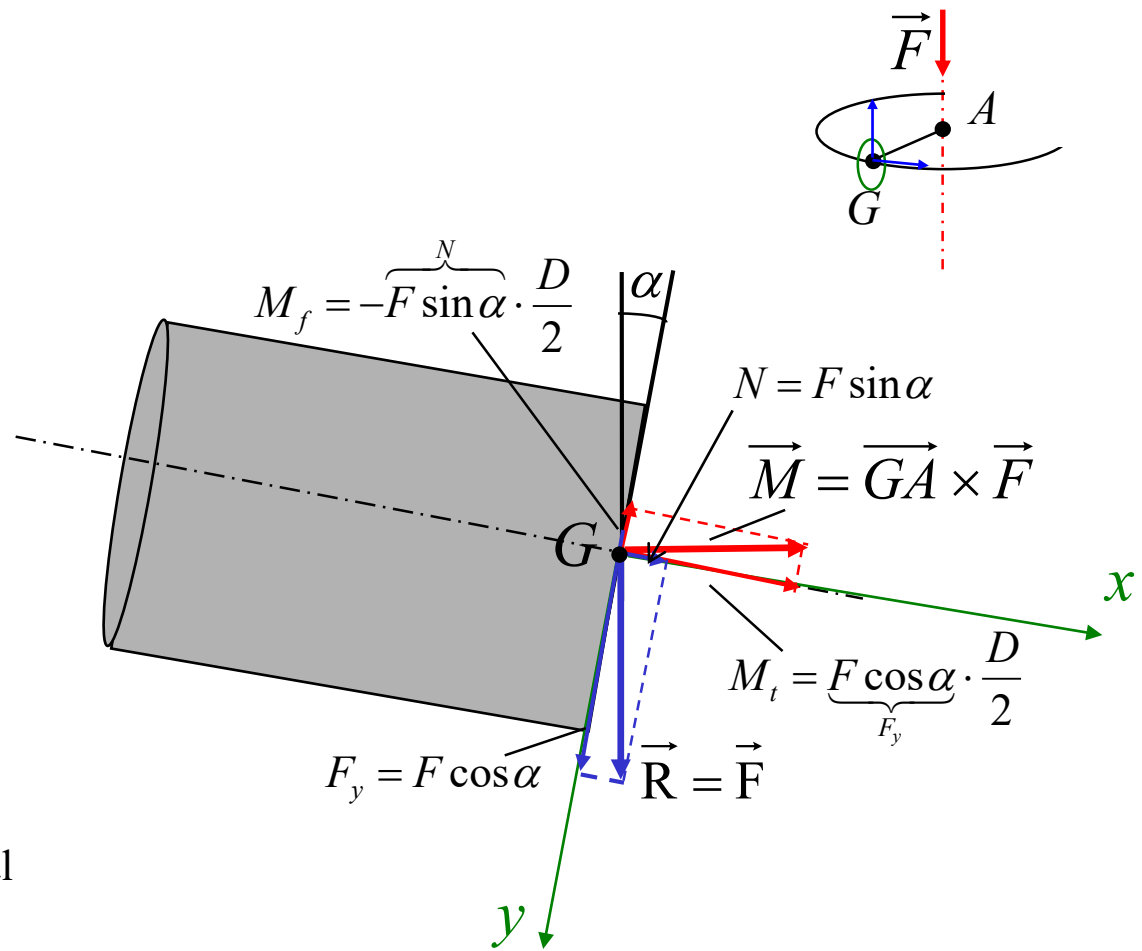
$f$ : flèche  $h_0 - h$  ( $h$ , hauteur sous charge)

# Ressorts hélicoïdaux à fil rond



En général

- $D \approx 6 \cdot d$
- $F_{\text{charge axiale}} \approx \underbrace{k}_{\substack{\text{rigidité} \\ \text{du ressort}}} \cdot \underbrace{f}_{=(h_0 - h)}$



$$\text{Normal} \Rightarrow N = F \sin \alpha \approx 0$$

$$\text{Tangent} \Rightarrow F_y = F \cos \alpha \approx F$$

$$M_t = F \cos \alpha \cdot \frac{D}{2} \approx M_t \approx F \frac{D}{2}$$

$$M_f = -F \sin \alpha \cdot \frac{D}{2} \approx 0$$

On néglige  $N$  et  $M_f$  devant  $F_y$  et  $M_t$

En général  $\alpha$  est faible, 6 à 8°

$$\Rightarrow \sin \alpha \approx 0$$

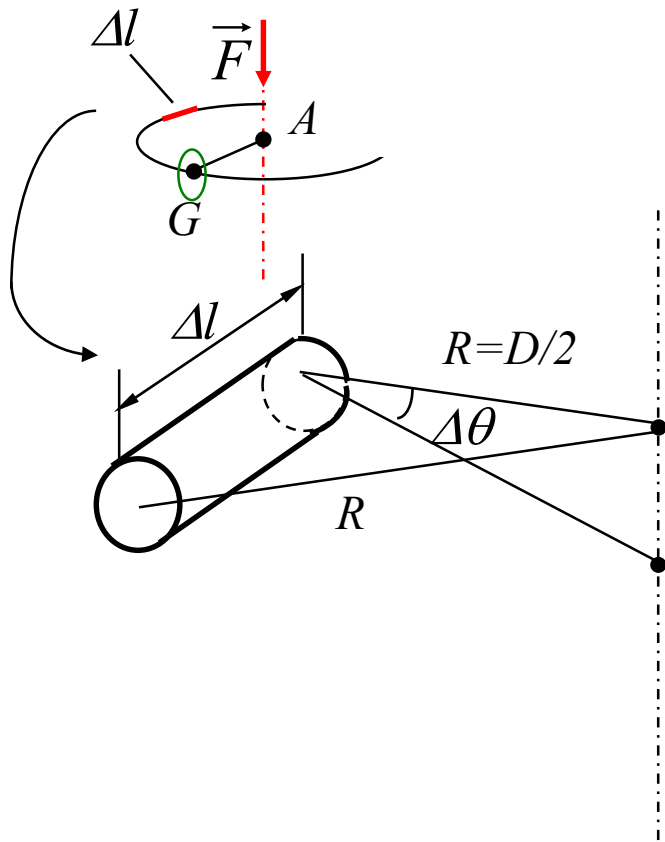
$$\Rightarrow \cos \alpha \approx 1$$

Contraintes tangentielles • Effort tranchant  $\tau_1 = \frac{F_y}{S} = \frac{4 \cdot F}{\pi \cdot d^2}$

$$\bullet M_t \rightarrow \tau_2 = \frac{M_t \cdot r}{I_p} = \frac{8 \cdot F \cdot D}{\pi \cdot d^3}$$

Si  $D \approx 6d$  on voit que  $\tau_1 \approx \frac{\tau_2}{12}$

on calcule un ressort EN TORSION  $\Rightarrow \tau_t = \frac{8 \cdot F \cdot D}{\pi \cdot d^3}$



(H)

$\Delta l$  petit donc supposé droit

Déformé par  $M_t$

$$\Delta\theta = \frac{M_t}{G \cdot I_p} \cdot \Delta l$$

$$\Delta\theta = \frac{F \cdot R}{G \cdot I_p} \cdot \Delta l$$

$$\Delta f \quad \Delta f \approx R \cdot \Delta\theta$$

$$= \frac{F \cdot R^2}{G \cdot I_p} \Delta l$$

$$= \frac{F \cdot D^2 \cdot 32}{4 \cdot G \cdot \pi \cdot d^4} \Delta l$$

$$F = k \cdot f$$

$$k = \frac{G \cdot d^4}{8 \cdot D^3 \cdot n}$$

$$\left. \begin{aligned} \Delta f &= \frac{8 \cdot F \cdot D^2}{\pi \cdot G \cdot d^4} \Delta l \\ \text{sur } n \cdot \pi \cdot D \end{aligned} \right\} \quad f = n \frac{8 F D^3}{G d^4}$$

$$\begin{aligned} G \uparrow, d \uparrow &\Rightarrow k \uparrow \\ D \downarrow &\Rightarrow k \uparrow \end{aligned}$$

# Résistance des matériaux

pierre-etienne.bourban@epfl.ch

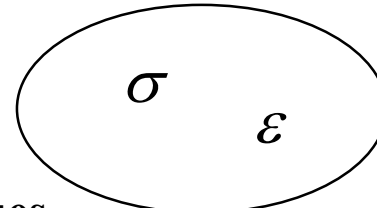
## Introduction

Définitions, hypothèses

Torseurs des efforts intérieurs

Principe d'équivalence

Moments d'une aire, moments statiques,  
moments d'inertie



## Traction et Compression

Bernoulli, St-Venant

Variation de températures

Pression interne

Force centrifuge

Influence du poids propre

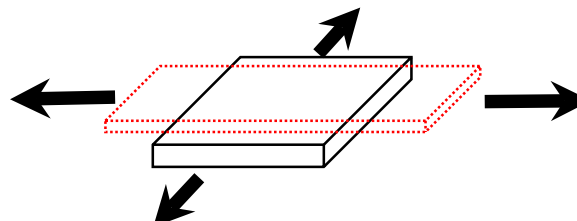
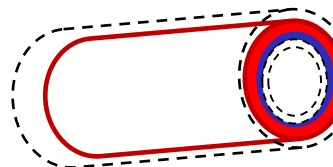
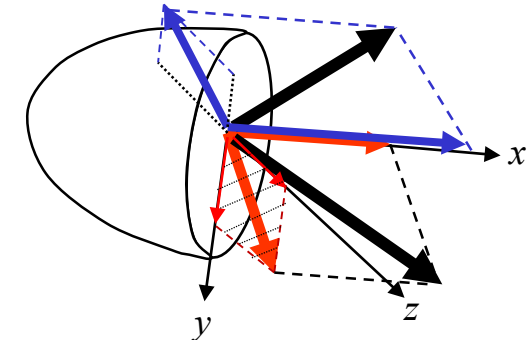
Etat de contraintes

Cercle de Mohr

Energie de déformation

Etat bidimensionnel des contraintes

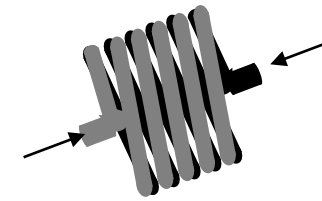
Axes et cercles de Mohr principaux



# Résistance des matériaux

## Cisaillement

Etat de contraintes, énergie de déformation



## Torsion circulaire

Etat de contraintes, isostatiques, énergie de déformation

## Flexion

Rappels de statique, hyperstatique

Flexion simple, états de contraintes, déformations

Méthode des équations différentielles, déformées

Flexion combinée

## Energies de déformation élastique

## Critères de performance

## Concentrations de contraintes

## Les limites de l'élasticité



<https://www.marcoodermatt.ch/en/media-en>

## Etudes de cas :

Rails, sertissage à chaud, corde d'escalade, réservoirs sous pression, goupilles, chaîne, vis, arbres creux, ressorts hélicoïdaux, poutres, ponts, flambage, etc....

# Agenda

2025

MSE 205 Résistance des Matériaux

[pierre-etienne.bourban@epfl.ch](mailto:pierre-etienne.bourban@epfl.ch)

jours	mois		
17	février	Intro , moments d'inertie	exo1: Statique
24	février	Traction, Hyperstatique	exo2: Moments géométriques
3	mars	Sertissagge... Bidim	exo3: Cordes, réservoirs pressurisés
10	mars	Cisaillement et torsion	exo4: Goupilles, joints, agrafes
17	mars	Torsion et Ressorts	exo5: Arbres creux , Révision et questions
24	mars	Examen A (1/3)	
31	mars	Flexion, NTM	Correction Exa, exo6: courbures, potence
7	avril	Cisaillement, Déformée,Superposition, Hyperstatique	exo7: Moments max/min
14	avril	P. non prismatique, Energie, Castiglano	exo 8.1: Flèches
21	Pâques		
28	avril	Révision Flexion, exo 8.2	exo9 Superposition
5	mai	Concentration, Flambage,Rupture	exo10 : Flambages
12	mai	Questions ouvertes et prépa examen	
19	mai	Examen B (2/3)	
26	mai	Feedbacks	

Lundi 15h15 cours et exo  
 Documents sur Moodle  
 Examens écrits A et B

**24 mars Examen écrit A, 15h15-17h en CO3**  
*Examen sans document avec une calculatrice.*